

REGLAREA UNUI SISTEM DINAMIC NELINIAR CU INCERTITUDINI FOLOSIND REȚELE NEURALE

dr. ing. Ovidiu Grigore
dr. ing. Octavian Grigore

Universitatea Politehnică București

Rezumat: Reglarea sistemelor dinamice se face destul de complicat prin metodele clasice, în special, când dinamica sistemului este foarte rapidă. O astfel de problemă devine și mai complicată atunci când sistemul mai cuprinde și mărimi necunoscute și el este și neliniar. Pentru rezolvarea acestor probleme, propunem proiectarea comenzii cu ajutorul unei rețele neurale. Această metodă are avantajul de a elimina rezolvarea unui sistem diferențial, de dimensiune apreciabilă.

Cuvinte cheie: neuron, rețea neurală feed forward, controler cu rețea neurală.

1. Introducere

Teoria rețelelor neurale cu un singur strat a fost pusă la punct în anii '80. Prin dezvoltarea tehnicii de calcul (viteză și capacitate) la sfârșitul anului 1988, primele aplicații ale rețelelor neurale cu straturi multiple au fost în domeniul recunoașterii formelor.

Cum sistemele dinamice constituie un domeniu important, începând cu 1992, cercetătorii au încercat aplicarea rețelelor neurale la identificarea și reglarea lor.

S-a început aplicarea lor la rezolvarea sistemelor neliniare, știindu-se faptul că, prin metodele clasice, reglarea acestor sisteme se face destul de greu. În prezentul articol, se aplică rețelele neurale pentru rezolvarea unui sistem dinamic complex cu incertitudini.

Pentru început, vom da noțiunile de bază, referitoare la rețele neurale, după care vom explica aplicarea lor pentru determinarea unui regulator robust.

2. Rețea neurală

Prin *neuron* înțelegem o aplicație $y_i : \mathbf{R}^N \rightarrow \mathbf{R}$ descrisă de [5]:

$$y_i = \Gamma \left(\sum_{j=1}^N w_{ji} x_j + \theta_i \right)$$

unde:

$\mathbf{X}^T = (x_1 \ x_2 \ x_3 \ \dots \ x_N)$ este vectorul de intrare;

w_{ji} este ponderea legăturii între unitatea de intrare j și neuronul curent i ;

θ_i este termenul de polarizare a unității "i" (a neuronului);

$\Gamma : \mathbf{R} \rightarrow (0, 1)$ este o funcție monotonă crescătoare pe care o alegem de tipul:

$$\Gamma(u) = \frac{1}{1 + e^{-u}}$$

Un set de neuroni interconectați ca în figura 1, formează o rețea neurală (RN). Rețeaua este organizată în $l = 0 \dots L$ straturi. Dacă neuronul de pe stratul l primește semnal doar de la neuronii de pe stratul $l - 1$ (transferul informației este într-un singur sens), atunci rețeaua se numește rețea neurală de tip "feed forward".

Cybenko în [1] și Hornik în [2] au demonstrat că orice aplicație continuă pe un interval compact $Y = \Phi(X)$ poate fi aproximată suficient de bine de o RN cu un singur strat ascuns ($l = 3$) dacă dimensiunea acestuia este aleasă corespunzător.

Presupunem că avem un set de P perechi intrare- ieșire $\{(X_1, Y_1) \dots (X_P, Y_P)\}$, care rezultă dintr-o corespondență funcțională $Y = \Phi(X)$ cu $X \in \mathbf{R}^N$ și $Y \in \mathbf{R}^M$.

"A antrena" o rețea înseamnă ca ea să învețe o aproximație $\hat{Y} = \hat{\Phi}(X)$ a funcției dorite $Y = \Phi(X)$, ceea ce practic înseamnă a găsi un set corespunzător de ponderi în stratul ascuns $\{W_{ij}^h\}$ și ai setului de ponderi în stratul de ieșire $\{W_{kj}^o\}$ (figura 1).

Obținerea valorilor la ieșirea rețelei neuronale se face prin propagarea informației de la intrare către ieșire. Astfel, fie $X_p = (x_{p1} \dots x_{pN})^T$ vectorul aplicat pe stratul de intrare.

Unitățile de intrare distribuie valorile către stratul ascuns, astfel intrarea în unitatea ascunsă j va fi:

$$\text{net } p_j^h = \sum_{i=1}^N w_{ji}^h x_{pi} + \theta_j^h,$$

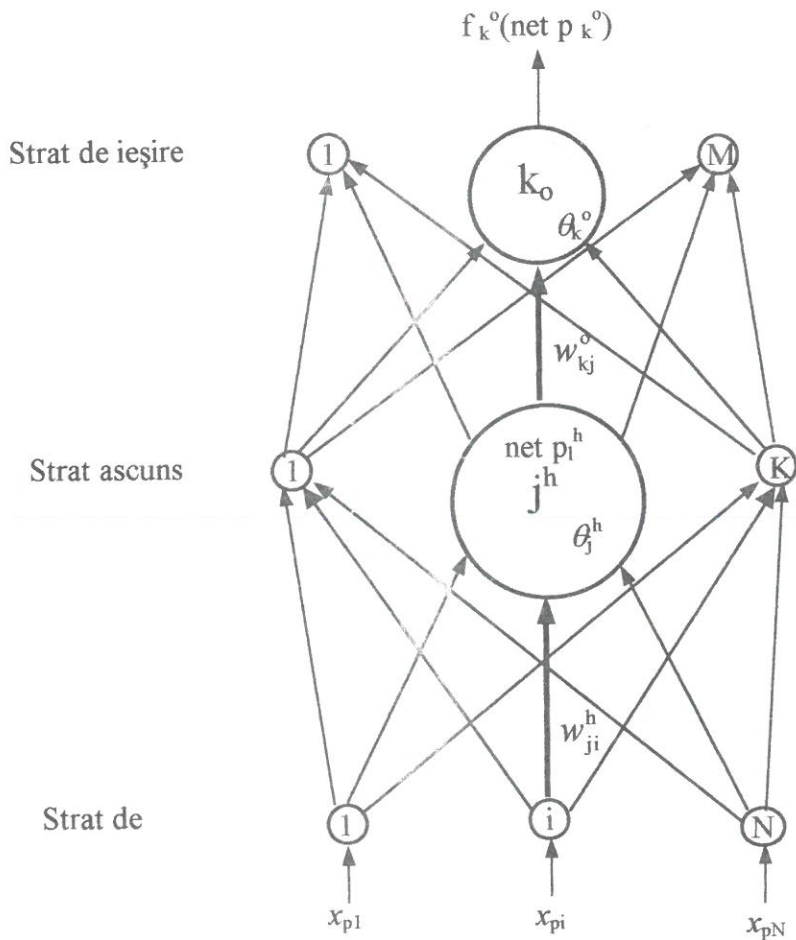


Figura 1. Rețea neurală cu $l = 3$ straturi

unde notațiile sunt cele de la neuron, iar indicele h arată că este vorba de stratul ascuns.

Ieșirea din acest nod va fi:

$$i_{pj} = f_j^h(\text{net } p_j^h)$$

În mod corespunzător, ecuațiile pe stratul de ieșire, vor fi:

$$\text{net } p_k^o = \sum_{j=1}^N w_{kj}^o i_{pj} + \theta_k^o, \quad (1)$$

$$o_{pk} = f_k^o(\text{net } p_k^o),$$

unde $O_p = (o_{p1} \dots o_{pM})^T$ este ieșirea reală (curentă) a RN când la intrare este aplicat $X_p = (x_{p1} \dots x_{pN})^T$.

O RN cu suficiente noduri în stratul ascuns va putea fi antrenată suficient de bine dacă pentru $(\forall) \varepsilon > 0$ ("legea delta", [6]):

$$\|\Phi(X) - O(X)\| < \varepsilon \quad \text{pentru } (\forall) X \in \wp$$

unde: $\wp \in \mathbf{R}^n$ este un compact;

X este intrarea în RN;

$\Phi(X)$ este ieșirea ideală (dorită) a RN;

$O(X)$ este ieșirea reală a RN.

Pentru determinarea ponderilor, se aplică metoda recursivă a gradientului negativ [5] conform căruia:

$$w^{(t+1)} = w^{(t)} - \eta \nabla_w E_p \quad (2)$$

unde:

$\eta(t)$ este rata de învățare.

$\nabla_w E_p$ este gradientul erorii E_p în raport cu ponderea calculată w .

Criteriul ce dorim să îl optimizăm este minimizarea erorii pătratice de la ieșirea RN, care este:

$$E_p = \frac{1}{2} \sum_{k=1}^M \delta_{pk}^2,$$

unde:

$\delta_{pk} = (v_{pk} - o_{pk})$ este eroarea de ieșire din rețea;

v_{pk} este ieșirea dorită din RN;

o_{pk} este ieșirea actuală din RN.

Particularizând (2) pentru ponderile stratului de ieșire, obținem:

$$w_{kj}^o(t+1) = w_{kj}^o(t) - \eta \frac{\partial E_p}{\partial w_{kj}^o} \quad (3)$$

$$E_p = \frac{1}{2} \sum_{k=1}^M (y_{pk} - o_{pk})^2 = \frac{1}{2} \sum_{k=1}^M [y_{pk} - f_k^o(\text{net } p_k^o)]^2 =$$

$$= \frac{1}{2} \sum_{k=1}^M \left[y_{pk} - f_k^o \left(\sum_{j=1}^K i_{pj} + \theta_k^o \right) \right]^2$$

$$\frac{\partial E_p}{\partial w_{kj}^o} = -(y_{pk} - o_{pk}) \frac{\partial f_k^o}{\partial (\text{net } p_k^o)} \frac{\partial (\text{net } p_k^o)}{\partial w_{kj}^o} \quad (4)$$

$$\frac{\partial (\text{net } p_k^o)}{\partial w_{kj}^o} = \frac{\partial}{\partial w_{kj}^o} \sum_{j=1}^K (w_{kj}^o i_{pj} + \theta_k^o) = i_{pj} \quad (5)$$

Introducând (5) în (4) se obține:

$$-\frac{\partial E_p}{\partial w_{kj}^o} = (y_{pk} - o_{pk}) [f_k^o(\text{net } p_k^o)]' i_{pj} \quad (6)$$

Ponderile de pe stratul de ieșire sunt modificate astfel:

$$w_{kj}^o(t+1) = w_{kj}^o(t) - \Delta_p w_{kj}^o(t)$$

unde:

$$\Delta_p w_{kj}^o(t) = \eta (y_{pk} - o_{pk}) [f_k^o(\text{net } p_k^o)]' i_{pj}$$

Dacă se alege funcția RN (sau funcția de activare a neuronului) ca fiind:

$$f_k^o(\text{net } p_k^o) = \frac{1}{1 + \exp(-\text{net } p_k^o)}$$

$$\Rightarrow [f_k^o(\text{net } p_k^o)]' = f_k^o(\text{net } p_k^o) [1 - f_k^o(\text{net } p_k^o)] = o_{pk} (1 - o_{pk})$$

deci:

$$w_{kj}^o(t+1) = w_{kj}^o(t) + \eta (y_{pk} - o_{pk}) o_{pk} (1 - o_{pk}) i_{pj}$$

Dacă se notează cu:

$$\delta_{pk}^o = (y_{pk} - o_{pk}) o_{pk} (1 - o_{pk})$$

obținem relația de actualizare a ponderilor pe stratul de ieșire ca fiind:

$$w_{kj}^o(t+1) = w_{kj}^o(t) + \eta \delta_{pk}^o i_{pj}$$

Aplicând acum procedeul de actualizare și pe stratul ascuns se obține:

$$w_{kj}^o(t+1) = w_{kj}^o(t) + \eta (1 - i_{pj}) x_{pj} (y_{pk} - o_{pk}) o_{pk} (1 - o_{pk}) w_{kj}^o(t)$$

Acest mod de antrenare al rețelei, prin reactualizare a ponderilor funcție de eroarea la ieșire, se numește "antrenare supervizată".

Algoritmul de antrenare a RN este:

- presupunem cunoscut un lot de perechi intrare- ieșire $\{(X_1, Y_1) \dots (X_P, Y_P)\}$;
- pentru $p = 1 \dots P$
 - se aplică $X_p = (x_{p1} \dots x_{pN})^T$;
 - se calculează ieșirea curentă a RN: $o_{pk} = f(\text{net } p_k^o)$ prin propagarea informației de la intrare la ieșire;
 - se fac corecțiile pentru w_{kj}^h și w_{kj}^o ;
 - se calculează

$$E_p = \frac{1}{2} \sum_{k=1}^M (y_{pk} - o_{pk})^2;$$

- eroarea pătratică totală, pentru tot lotul de învățare, este:

$$E = \sum_p E_p$$

- testul care arată dacă RN a fost suficient de bine antrenată este:

$$E < \varepsilon$$

Dacă acest test nu este satisfăcut, se reia procesul de antrenare a RN.

3. Regulator folosind rețea neurală

Proiectarea unui regulator înseamnă a determina valorile comenzii curente, în funcție de valorile de intrare, de stare și a comenzii anterioare. De aceea, în cazul folosirii unei RN drept regulator ieșirea rețelei trebuie să fie comanda la momentul curent, iar intrările sunt reprezentate de stări, intrări și comanda anterioară (vezi figura 2).

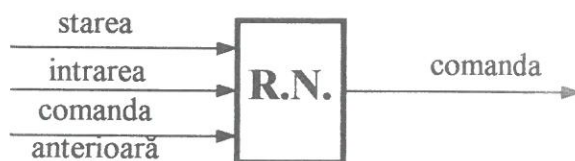


Figura 2. Regulator cu RN

Deoarece RN folosită este de tip supervizat "cu învățare", s-a pus problema determinării unui set cât mai reprezentativ de perechi intrare - ieșire cu ajutorul căruia să fie învățată RN. Pentru aceasta, un rol important îl ocupă clasificarea apriorică a

formelor de intrare ("input patterns") într-un număr limitat de clase distincte. Presupunem (vezi figura 1) intrările $x_1 \dots x_N$ numite și caracteristici ("features"), reprezentate de un vector X de dimensiune N în spațiul caracteristicilor Ω_X [2], iar $\omega_1 \dots \omega_R$ cele R clase corespunzătoare în cazul nostru celor R situații de reglaj. O astfel de operație se mai poate interpreta ca o partiționare a spațiului caracteristicilor k dimensional Ω_X în R regiuni de decizie corespunzătoare celor R clase de reglaj.

În esență, algoritmul folosit pentru determinarea celor R clase de comandă [7], constă în gruparea vectorilor de intrare pe baza minimumului distanței euclidiene dintre vectori și mediile claselor. Astfel, pentru fiecare valoare de intrare se calculează distanța față de centrele claselor existente. Se alege drept clasă de apartenență pentru vectorul respectiv, aceea pentru care distanța este minimă și, în plus, mai mică decât o valoare de prag aleasă a priori (care caracterizează domeniul clasei). Altfel, el este considerat ca o nouă situație de reglaj și se creează o nouă clasă având în centru pe X , iar mărimea este dată de raza D .

Putem spune că toți vectorii care aparțin unei clase (deci, distanța între vectori este mai mică decât D) au aproximativ aceleași caracteristici și, deci, putem aproxima comenzile lor cu comanda corespunzătoare centrului clasei de intrare.

4. Aplicație

Fie sistemul de urmărire [3]:

$$(\Sigma_R): \begin{cases} \dot{\theta}_r = 5,23\alpha_r \\ \dot{\alpha}_r = p_r \\ \dot{p}_r = -5,88p_r - 728,43\alpha_r - 529,5\delta_r \\ \dot{\Phi} = \frac{V_r - V_r \Xi[\Phi - \theta_r]}{R} \Phi - \frac{V_r}{R} \theta_r + \frac{V_r}{R} \Xi[\Phi - \theta_r] \theta_r \end{cases}$$

$$(\Sigma_T): \begin{cases} \dot{\theta}_t = 5,23\alpha_t \\ \dot{\alpha}_t = p_t \\ \dot{p}_t = -2,505 p_t - 572,5\alpha_t - 300,5\delta_t \end{cases}$$

unde:

- (Σ_R) reprezintă ecuațiile dinamice ale modelului rachetei în planul vertical, iar (Σ_T) , ale țintei;
- θ – unghiul de tangaj al rachetei, respectiv țintei;
- α – unghiul de incidență al rachetei, respectiv țintei;
- p – viteza de variație a unghiului de incidență al rachetei, respectiv țintei;
- Φ – unghiul de vizare al țintei;
- R – distanța dintre rachetă și țintă;
- V – viteza rachetei, respectiv țintei;
- δ – comanda rachetei, respectiv țintei.

Pentru sistemul compus rachetă – țintă $(\Sigma_R - \Sigma_T)$ construim un regulator bazat pe rețea neurală.

Vom considera ca intrări ale rețelei neurale mărimile R , Φ și θ (care sunt dependente de comanda anterioară), deci RN are 3 noduri de intrare.

În stratul ascuns, s-au ales 7 neuroni, obținându-se rezultate bune. Alegând un număr mai mare de neuroni în stratul ascuns, rezultatele experimentale se îmbunătățesc vizibil (eroarea pătratică de învățare scade), dar cantitatea calculului și, respectiv, timpul necesar învățării cresc considerabil.

Ca ieșire a RN, considerăm comanda δ a rachetei cu valori cuprinse între -0.56 rad și 0.56 rad (rezultate din condiția de suprasarcină admisibilă permisă – n_{adm} – care, de obicei, este cuprinsă între $-50g$ și $+50g$). Deoarece RN se antrenează mai greu pentru ieșiri ce variază continuu în timp, vom partiționa domeniul comenzii în 11 domenii inițiale astfel încât fiecărui subdomeniu să îi corespundă un neuron de ieșire al rețelei. RN are deci 11 neuroni la ieșire.

Astfel s-au determinat perechi particulare de valori intrare-ieșire prin rezolvarea sistemului de ecuații diferențiale rachetă – țintă $(\Sigma_R - \Sigma_T)$ într-un număr de 20.000 de puncte. Aceste valori particulare se pot obține și experimental printr-o simulare reală a scenariului de urmărire, însă necesită cheltuieli considerabile și un timp destul de mare. Datorită cantității mari de date ce trebuie prelucrate, timpul de învățare al rețelei este foarte mare, de aceea, am redus numărul de vectori intrare-ieșire prin metoda "clustering Isodata", în final obținându-se un set de 470 vectori (și, deci, implicit, a crescut viteza de convergență a procesului de învățare).

Rata de învățare $\eta(t)$, factor folosit în metoda gradientului negativ, poate lua valori între 0 și 1. Dacă alegem pe η mare (cu valori apropiate de 1), se poate ca metoda gradientului să nu fie convergentă. Dacă η este prea mic algoritmul converge lent și se poate bloca pe minime locale, nu pe minimul absolut.

5. Concluzii și rezultate

În figura 3 și tabelul 1 sunt prezentate rezultatele simulărilor atât pentru un regulator robust, cât și pentru regulatorul cu rețea neurală.

Ca parametri inițiali, pentru inițializarea procesului de urmărire s-au ales: R și Φ . Manevrele țintei, obținute prin comanda țintei δ_T ,

considerate în acest caz perturbații, sunt mărginite și pot fi aplicate de utilizator.

Din punct de vedere al parametrului dinamic calitativ – distanța de ratare D – racheta cu regulator robust fiind proiectată să îl optimizeze, pe traiectoria finală, aceasta oscilează în jurul valorii zero. În cazul rachetei cu rețea neurală, acest parametru scade în timpul apropierii de țintă, dar, în momentul lovirii, are valori de zeci de metri. Dezavantajul în acest caz poate fi scăderea țintei, dacă ea are o dinamică mai rapidă decât a

rachetă ce urmărește o țintă cu dinamică asemănătoare ei, este un fapt viabil. Practic, pilotul automat, în acest caz, este format dintr-o rețea neurală (un cip dedicat), care înlocuiește întregul calculator de bord din cazul rachetei cu regulator robust. În acest caz, datorită compactității și a simplității constructive (din punct de vedere electronic), acesta este mult mai fiabil și rezistent, decât cel cu regulator, la toate genurile de bruiaje folosite de eventualii inamici (bruiaj electronic, de exemplu).

Tabelul 1 Comparația între regulatorul clasic și cel cu rețea neurală

Distanța inițială rachetă-țintă [m]	Unghiul de vizare inițial [°]	Timp [s]	
		Regulator clasic	Regulator cu rețea
1000	-15	3.36	3.15
1500	25	4.89	4.65
2500	45	7.77	7.45
2500	-50	7.23	6.6
3000	-20	9.78	9.69

rachetei (fapt rar întâlnit însă). El poate fi contracarat prin mai multe date despre urmărirea pe faza finală a traiectoriei, introducându-se mai multe poziții de tragere a rachetei pentru o distanță R ca valori inițiale pentru învățarea rețelei neurale.

Din aceste rezultate comparative și metode grafice, putem trage concluzia că a construi un regulator cu rețea neurală pentru a comanda o

De asemenea, metoda dovedind viabilitate în reglarea unor sisteme rapide și complexe, cum este cazul scenariului de urmărire, realizat în această lucrare, ea poate fi extinsă și la alte sisteme dinamice mai simple cu rezultate imediate (de exemplu, reglarea și controlarea vitezei motoarelor pas cu pas, servomotoarelor etc.).

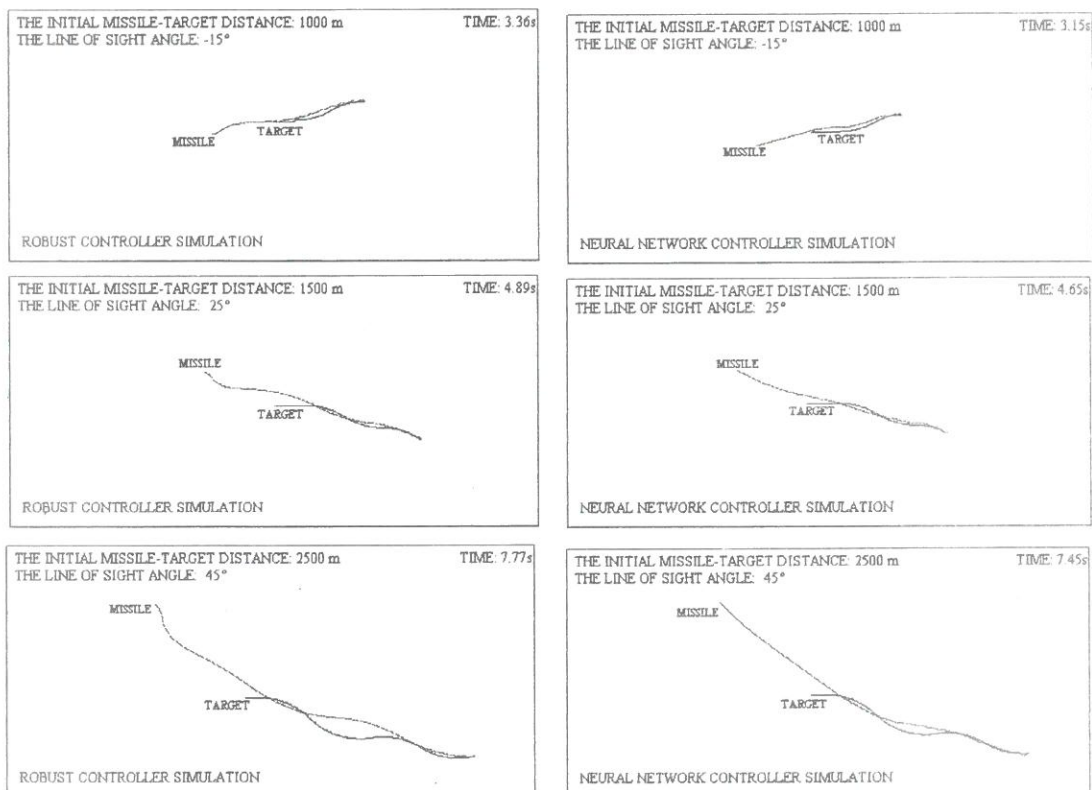


Figura 3. Simulările traiectoriilor în cazul regulatorului robust și cel cu rețea neurală

Bibliografie

1. **CYBENKO, G.:** Approximation by superposition of sigmoidal function. În: Math. Contr. Sign. and Systems, vol.2, no.4, , 1989, pp. 303-314.
2. **FU, KING-SU:** Learning Control System - Review and Outlook. În: Trans. on Pattern Analysis and Machine Intellig., vol. PAMI-8, no.3, 1986, pp. 327-343.
3. **GRIGORE, O.:** Stabilitatea și Controlul Sistemelor Dinamice cu Incertitudini, Teză de Doctorat, 1987.
4. **HORNIK, K., STINCHCOMB, M.:** Multilayer feedforward networks are universal approximators. În: I.E.E.E. Neural Networks, vol.2, 1989, pp. 359-366.
5. **LEVIN, A.V., NARENDRA K.S.:** Control of Nonlinear Dynamical Systems using Neural Networks: Controllability and Stabilization. În: I.E.E.E. Trans. Neural Networks, vol. IV, no.2, 1993, pp. 194-195.
6. **SADEGH, N.:** A Perceptron Network for Functional Identification and Control of Nonlinear System. În: I.E.E.E. Neural Networks, vol.4, no.6, 1993, pp.982-988.
7. **TOU, J.T., GONZALES, R.C.:** Pattern Recognition Principles, Addison-Wesley Publishing Company-1974, p.97.